

401
113
铝锂合金的时效
標材-7006

铝锂合金的时效

中国科学院原子核科学委员会編輯委員會
文 獻 編 輯 室 編 輯

内 容 简 介

Al-Li 合金是一种需經沉淀处理（从固溶体中）的合金，并且可以用与普通铝合金相同的处 理工 艺来 时效硬化 該合 金。对含Li1.5%和2.8%的 Al-Li 合金，以产生最大硬度所 需的时 间进行时效处理时，用电子显微鏡可以观察 到球状的 沉淀粒子。在过时效的試样上，看到了呈棒状的 沉淀物，其 取向或平行于鋁基体的 (110) 面，或平行于 (111) 面。

本文譯自美国原子能委員会報告DP-331，“Aging of Al-Li Alloys, Part. I”，1959年1月。由希夏譯。

目 录

一、引言	1
二、总结	1
三、討論	2
(一) 背景	2
(二) 材料	3
(三) 实驗技术	3
1. 热处理	3
2. 金相試样的制备	3
3. 电子显微鏡法的复膜	4
(四) 回收过程中显微组织的变化	5
(五) 沉淀物的取向	9
(六) 硬度測量	9
四、参考文献	13

引　　言

过饱和固溶体的沉淀析出，是固态金属的重要反应之一。这种反应在普通的鋁基合金中，已广泛使用。沉淀反应对时效硬化具有决定性的作用，故在高强度鋁合金的制造和应用方面，进行了彻底的研究。作为核反应堆控制棒用的 Al-Li 合金同样也存在这种沉淀反应。

Al-Li 合金在时效过程中显微组织变化的資料对制造控制棒及这些棒的幅照损伤研究具有一定的意义。

本文叙述了含 Li 1.5% 和 2.8% 两种 Al-Li 合金的光学和电子显微鏡的觀察結果。为了分辨沉淀初始阶段形成的极細的粒子，应用电子显微鏡是必需的。

总　　結

在 Al-1.5% Li 和 Al-2.8% Li 两种合金中，以产生最大硬度所需的时间进行时效处理后，用电子显微鏡觀察到了沉淀析出的金属間化合物粒子 LiAl。对 1.5% 的合金，在 275°C 經 16 小时时效处理后，沉淀物清晰易見，但对 2.8% 的合金而言，则仅需在 275°C 經 15 分鐘时效处理，即可見沉淀物。沉淀物首先在晶界上看到，然后，随时效的进行，在晶粒内部也变得清晰易見。晶粒内部的沉淀产物以棒状存在，其取向或平行于鋁基体的 (110) 面，或平行于 (111) 面。

除了金相觀察外，硬度測量值亦随时效时间而变化，1.5% 合金的最大硬度值等于 R_E (Reckwell "E") 12，28% 合金则等于 $R_E 98$ 。

討 論

背 景

若一个合金系滿足下列两个条件, 則存在时效硬化現象:
(1) 一种金属在另一种金属中的溶解度随溫度的升高而增大;
(2) 沉淀产物和基体之間必須存在一定的結晶学关系。
例如, 在本文所研究的合金中, 沉淀产物呈棒状, 其軸线平行于鋁基体的(110)或(111)面。当一合金在其溶解度范围内加热到互溶的溫度后, 快速淬火, 則第二相留在固溶体内不析出来。隨后再进行中溫加热一段時間, 此时就发生了第二相的沉淀。这种沉淀过程由合金硬度的最初迅速增高而后硬度又随着在中溫继续加热或时效的继续進行而降低所表征。合金在时效时, 越过了最大硬度值, 称为“过时效”。若合金不滿足

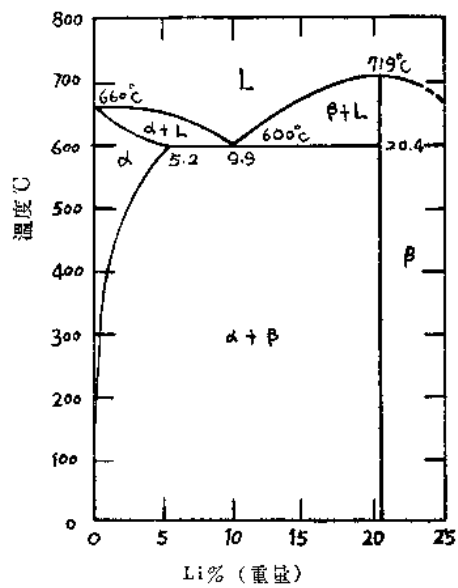


圖 1 Al-Li相图中的富鋁部份
現硬度的最大值。关于固溶体沉淀理論的全面評述可参閱文

(2) 条件, 則沉淀过程中仅显示出硬度的連續增高, 而不出

献[1]。

Al-Li合金相图富鋁部份(图1)表明 Al-Li合金符合时效硬化合金的溶解度条件。Li 在 Al中的固溶极限取自Nowak^[2]的測量結果。

材 料

本研究所用的試样是从挤压棒材上切取下来的，其直径为0.8吋。挤压坯料的直径为8吋，是由純度为99.95%的Al和99.98%的Li配制而成，其名义Li含量为1.5%和2.8%(重量)

实 驗 技 术

热处理

Al-1.5% Li 和 Al-2.8% Li 两种合金的热处理溫度是相同的。固溶处理的溫度为 525°C，保溫 2 小时，快速淬入室溫的水中。然后将試样置于电阻加热的馬弗炉内进行 275°C 时效(空气中加热)，經預定時間保溫后淬入水中。热处理后，将 3/8 吋試样片沿縱向切成两半，而且仅仅观察試样的中心部份。这一操作是必要的，因为 Li 从試样中扩散出来并在試样周围形成寬为 0.050 吋的貧 Li 带。

金相試样的制备

全部試样均經600#砂粗磨，然后再用 1 微米的金刚砂抛光。应用了多种浸蚀剂浸蚀，以保証不产生由单一浸蚀剂所引起的假象，并发展了制备輻照試样可能应用的技术。浸

蝕程序列于下表。

浸 蝏 程 序			
化学抛光 ^[6]		HF浸蝕	
成份: H_3PO_4	70毫升	成份: HF	1毫升
H_2SO_4	25毫升	水	99毫升
HNO_3	5毫升		
溫度: 85到100°C		溫度: 环境溫度	
时间: 浸15到30秒		时间 浸10秒	
电解抛光 ^[7]		点腐蚀 ^[7]	
成份: 甲酇	100毫升	成份: HNO_3	50毫升
HNO_3	100毫升	HCl	48毫升
HCl	4毫升	HF	2毫升
电流密度:	4安/厘米 ²	溫度: 10°C	
溫度: 环境溫度		时间: 擦拭	
时间: 15到30秒			5秒

电子显微鏡法的复膜

采用了两种不同的复膜技术。第一种为氧化膜法，这种技术广泛地应用在铝及铝合金^[3]中。試样在磷酸氢二納和硫酸溶液中进行阳极处理，电压为40伏。阳极处理所产生的氧化膜用浸入法加以剥除，此时，試样先浸于过飽和的氯化汞溶液中，然后再浸于水中。这样，由于內层铝的汞齐化作用，使氧化膜从表面上脱离下来。剥离后，复膜在10%（体积）的HCl溶液中洗滌，不需要投影复膜。

第二种技术是把碳直接蒸发到試样表面而形成复膜。此时，不需用隔离层。用浸入法剥离复膜。其程序是先浸于1%（体积）的HF溶液中，然后再浸于水中。

时效过程中显微組織的变化

当进行时效时，在1.5%和2.8% Li合金中，观察到了相同的显微组织的变化。首先在晶界上看到沉淀粒子，然后，出现在晶粒内部。其結果如图2所示。图2可用的試样为2.8% Li的合金，先經化学抛光，后用氧化膜法复膜。

图2b和2d所示的“小泡”（mound）可认为是化学抛光及阳极处理对沉淀粒子侵蚀而造成的腐蚀坑。对第二相粒子的这种侵蚀作用，也曾为其他一些研究人員觀察到过^[3]。正如金相照片所指出的，起初，“小泡”的浓度随时效时间的增加而增加，然后降低。同时，孤立的棒状粒子生长。这样一种沉淀过程的次序是符合經典的时效图象：沉淀物首先以微小的粒子呈现，其数量随时间而增加，达到极大值后随时间而减少。

时效早期阶段可見到的“小泡”和Al-Cu合金中呈现的沉淀物相似可认为是一种过渡性的沉淀产物。在Al-Cu合金中，最初形成的沉淀物是亚稳定的过渡相 θ' ，进一步时效时，它轉变为 CuAl_2 相^[1]。即使用电子显微鏡也不易分辨出来 θ' 相粒子，所以，通常用X射线衍射技术来发现它的存在。但是，如果在Al-Li合金中存在这种过渡相，则就比較容易觀察到。因为，Li更容易与化学浸蚀剂相互作用。在时效后期所觀察到的棒状粒子为沉淀产物最終形成的 LiAl 。



2a 固溶处理



2b 时效15分钟

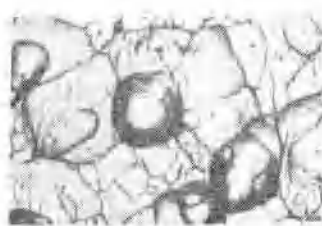
試样經525°C 2 小时固溶处理后水淬并在275°C时效



2c 时效45分



2d 时效1小时



2e 时效2小时



2f 时效4.5小时

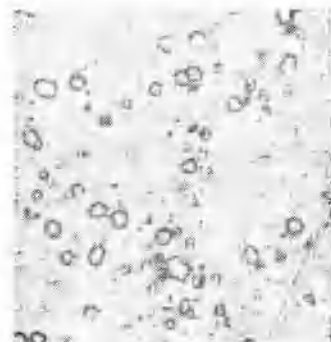
最初觀察到的沉淀是在晶界处形成“小泡”(图 2b 和 2c)。

继续时效时，晶粒内部出現“小泡”和棒状沉淀物(图 2d 和 2f)。图 2a 中的白色斑点为复膜疵病(Artifact)

图 2 2.8% Li 合金时效过程中显微组织的变化
(試样經化学抛光, 氧化膜复膜)

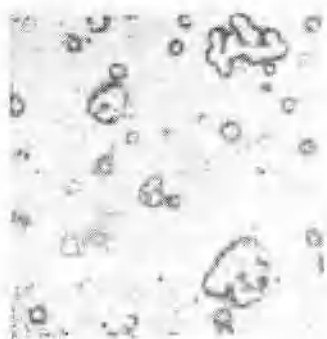


3a 固溶处理

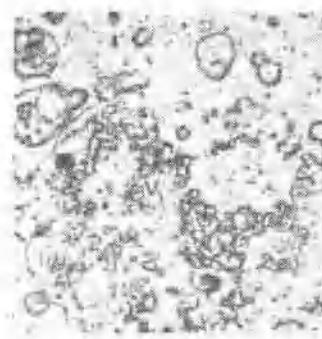


3b 时效16小时

試样經523℃ 2小時固溶處理後水淬并在275℃时效



3c 时效26小时



3d 时效44小时

沉淀物(圆形沉淀物)的浓度随时效时间而变化的趋势和2.8% Li合金相同,但未见棒状沉淀粒子。过时效时,粒子发生聚集(图3d),图3a中圆形小点为复膜斑病。

图3 1.5% Li合金时效过程中显微组织的变化

(试样在HF酸溶液中浸蚀,氧化膜复膜)

Hunter 和 Robinson^[4] 也观察到在所有的試样中的亚晶界的网状分布。他們在制备金相試样时曾用 Alcoa R-5“透明浸洗液”(Bright Dip) 作为化学抛光剂。所謂“化学抛光剂”的含义是一种仅起抛光作用而不浸蝕試样的溶液，同时，又不像电解抛光那样需加外电压。本研究所用的化学抛光剂和 Nowak^[2] 所用的相同（他用此試剂研究 Li 在 Al 中的固溶度）。

对 1.5% Li 合金的試样进行时效，在 1% HF 酸水溶液中浸蝕后进行觀察。图 3 为显微组织的一些图例，其組織变化的特征和 2.8% 合金相似。如图 3d 所示，当过时效时，沉淀物聚集成許多大块。虽然沉淀物的浓度随时效时间而变化的趋势和 2.8% 合金相似，但是，在用 HF 浸蝕的含 1.5% 的試样中，觀察到較多的沉淀粒子。可以认为，产生这种結果是由化学抛光剂和浸蝕剂两者腐蝕作用的类型不同，以及电子显微鏡焦距深度不同而引起的。化学抛光剂使 LiAl 粒子溶解而留下了浅坑，这种浅坑在某些情况下是看不見的，因为它在复膜中并不产生銳边。HF 浸蝕剂腐蝕 LiAl 粒子和基体間的界面，从而产生了在显微鏡下易見的明显的环状凹坑。比較图 2 和图 3，即說明了此种腐蝕类型上的差异。然而，在用 HF 酸浸蝕的試样中，不存在棒状粒子这一事实，尚无适当的解释。

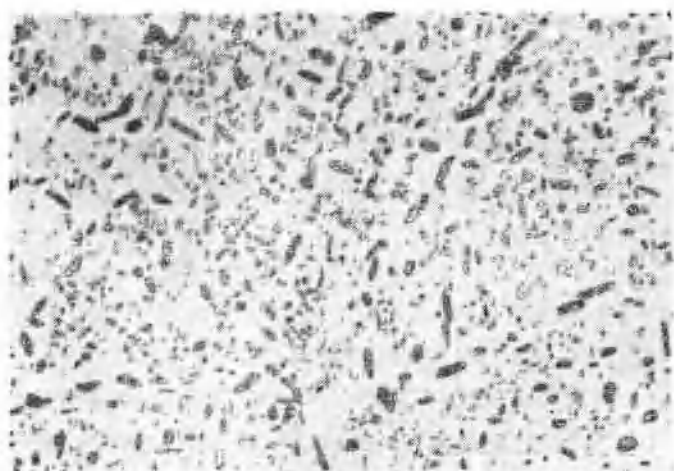
在过时效的电解抛光試样中，观察到棒状粒子（如图 4 所示）。这种粒子应确认是棒状而不是片状，因为在图 4a 中，仅观察到棒及小黑点两种形态的組織，可以认为，小黑点是棒的露头端，在图中并未見到相当于片状粒子表面的大的圓形粒子，所以，在显微鏡下观察到的这种組織，是棒状沉淀物的縱向和横向截面。

沉淀物的取向

在一切时效硬化的体系中，基体和沉淀相間总存在着一定的結晶学关系。在 Al-Li 系中也存在这种关系。2.8% 合金的試样，經 4 小时时效后形成了棒状粒子。用含 HF 的王水浸蝕。我們知道，这种試剂所造成的腐蝕坑，其邊平行于鋁的 (100) 面。由图 5 可看出，沉淀物的棒軸大致和四方形腐蝕坑的对角线相平行，即与 (100) 面呈 45° 的交角。在 Al 中，(110) 和 (111) 两晶面与 (100) 面的交角接近 45° 。由此可知沉淀物的取向和 (110) 或 (111) 面相平行。在 Al-Ag, Al-Zn 和 Cu-Sn 系中，也曾观察到沉淀物和基体 (110) 或 (111) 面之間的这种結晶学关系。

硬 度 測 量

无论 1.5% 或 2.8% 合金，所測得的硬度都和时效的時間有关。硬度測量就在作金相觀察的試樣上进行。图 6 中的曲线綜合了測量的結果。对 1.5% 合金而言，最大硬度值为 $12R_E$ ，出現于时效 28 小时处。2.8% 合金的最大硬度值为 $98R_E$ ，出現于时效 25 分鐘处。必須指出，这里的硬度仅适用于 275°C 时效。达到最大硬度所需的时间和形成最初可見的沉淀粒子(在电子显微鏡下)所要求的时间几乎完全一致。图 6 曲线中所存在的最大值表明，Al-Li 合金是一种真正的时效硬化合金。



光学显微鏡照相



电子显微鏡照相（碳复膜）
晶粒内部的棒状粒子



电子显微鏡照相（碳复膜）
晶界上的沉淀产物

2.8%合金的試样，經固溶處理并在275°C时效12小时
图 4 过时效試样中的棒状粒子(电解抛光的試样)



在平行于腐蚀坑对角线的晶面上形成的沉淀物，腐蚀坑的边
代表 Al 基体的 (100) 面

图 5 沉淀粒子的取向
(试样经化学抛光和坑蚀剂中浸蚀, 氧化复膜)

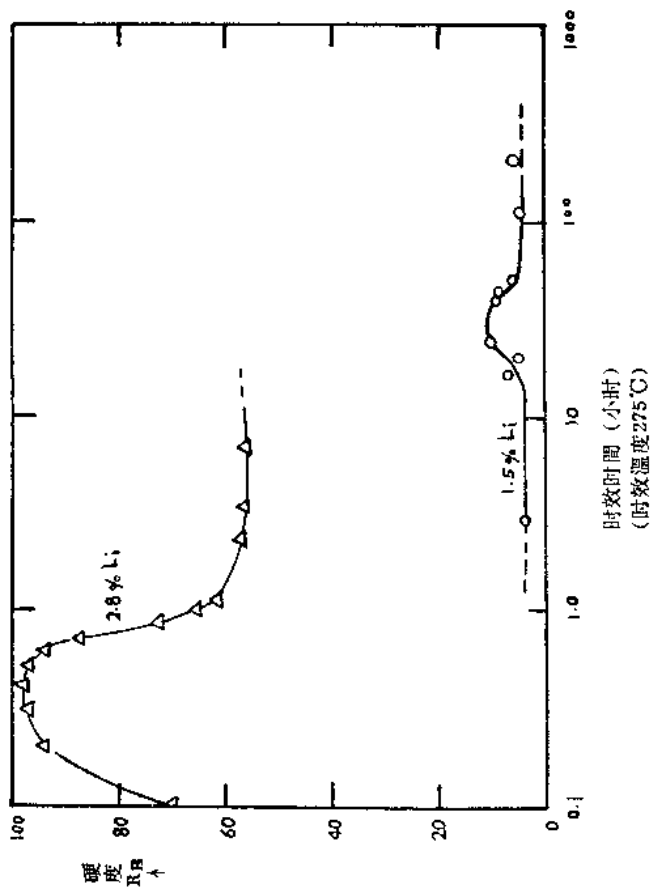


图 6 Al-Li合金的时效曲线
(时效温度275°C)
(1.5% 和 2.8% Li 的合金)

参 考 文 献

- [1] Geisler, A. H. "Precipitation from Solid Solutions of Metals", in National Research Council, Committee on Solids. Phase Transformations in Solids. New York, Wiley, 387 (1951).
- [2] Nowak, S. K. "Solid Solubility of Lithium in Aluminum". J. Metals, 8, 553-556 (1956).
- [3] Keller, F. and Geisler, A. H. "Application of Electron Microscope to Study of Aluminum Alloys." Trans. AIME, 156, 82-99 (1941).
- [4] Hunter, M. S. and Robinson, D. L. "Revealing the Subgrain Structure of Aluminum". J. Metals, 5, 717-722(1953).
- [5] Barrett, C. S. Structure of Metals, Crystallographic Methods, Principles, and Data. 2d ed. New York, McGraw-Hill, 548-552 (1952).
- [6] Tegart, W. J. The Electrolytic and Chemical Polishing of Metals in Research and Industry. London, Pergamon Press (1956).
- [7] Lacombe, P. and Beaujard, L. "The Application of Etch-Figures on Pure Aluminum (99.99%) to the Study of Some Micrographic Problems". J. Inst. Metals, 74, 1-16(1948).

书号：核材-7006

定价： 0.10 元

试读结束，需要全本PDF请购买 www.ertongbook.com